

## 孤立波の斜面上での変形

東北大学工学部 学生員 ○ 長尾昌朋  
 東北大学工学部 正会員 後藤啓明  
 東北大学工学部 正会員 前藤伸夫

### 1.はじめに

波頂曲率の効果を無視できない長波を記述する方程式として、Peregrine の式、著者らの一人が導いたアーセル数が大きい場合の非線形分散波の方程式などがある。本論文では、孤立波の斜面上の変形に關して実験および前述の2式を比較検討した。

### 2. 実験

実験には、長さ10m、幅30cm、深さ45cmの水槽に、 $1/20$ の勾配の斜面をとりつけたものを用いた。2台のリード式水位計を使用したが、そのうちの1台は場所を固定し、他を測定間隔5cm毎に移動して波形を測定した。固定した水位計の記録を基にして各波形の時間の調整を行った。実験は、波高水深比0.44と0.11の2種類の場合を行った。

### 3. 數値計算法

長波を記述するパラメータとして、波高水深比 $\epsilon$ 、相対水深 $\eta$ 、アーセル数 $\alpha$ がある。Peregrine の式は、 $\epsilon \ll 1, \alpha \ll 1, \eta \sim 1$ であると假定して求めたものである。全水深( $D = h + \eta$ )にわたって積分し、平均流速 $\bar{u}$ を含んだ次式であたえられる。

$$\frac{\partial \eta}{\partial t} + \frac{\partial}{\partial x} [D \bar{u}] = 0$$

$$\begin{aligned} & \frac{\partial}{\partial t} [D \bar{u}] + \frac{\partial}{\partial x} [D \bar{u}^2] + g D \frac{\partial \eta}{\partial x} \\ &= \frac{\partial}{\partial x} \left[ \frac{D^3}{3} \frac{\partial \bar{u}}{\partial t} + \frac{D^2}{2} \frac{\partial}{\partial t} (\bar{u} \frac{\partial \bar{u}}{\partial x}) \right] - \frac{\partial \eta}{\partial x} \left[ \frac{D^2}{2} \frac{\partial^2 \bar{u}}{\partial t^2} + \frac{\partial}{\partial t} (\bar{u} \frac{\partial \bar{u}}{\partial x}) \right] \end{aligned} \quad (1)$$

アーセル数が大きい場合の非線形分散波の方程式は、 $\epsilon \sim 1, \alpha \sim 1$ と假定したものであり、次の様に表される。

$$\begin{aligned} & \frac{\partial \eta}{\partial t} + \frac{\partial}{\partial x} [D \bar{u}] = 0 \\ & \frac{\partial}{\partial t} [D \bar{u}] + \frac{\partial}{\partial x} [D \bar{u}^2] + g D \frac{\partial \eta}{\partial x} \\ &= \frac{\partial}{\partial x} \left[ \frac{D^3}{3} F_1 + \frac{D^2}{2} F_2 \right] - \frac{\partial \eta}{\partial x} \left[ \frac{D^2}{2} F_1 + D F_2 \right] \\ & F_1 = \frac{\partial^2 \bar{u}}{\partial t^2} \bar{u} + \bar{u} \frac{\partial^2 \bar{u}}{\partial x^2} - \left( \frac{\partial \bar{u}}{\partial x} \right)^2 \\ & F_2 = \frac{\partial}{\partial t} (\bar{u} \frac{\partial \bar{u}}{\partial x}) + \bar{u} \frac{\partial}{\partial x} (\bar{u} \frac{\partial \bar{u}}{\partial x}) - \frac{\partial \bar{u}}{\partial x} \bar{u} \frac{\partial \bar{u}}{\partial x} \end{aligned} \quad (2)$$

数値計算には陰差分法を用ひている。(差分式は割愛する。)

図1に空間波形を示す。式(1)では波高増幅、波形

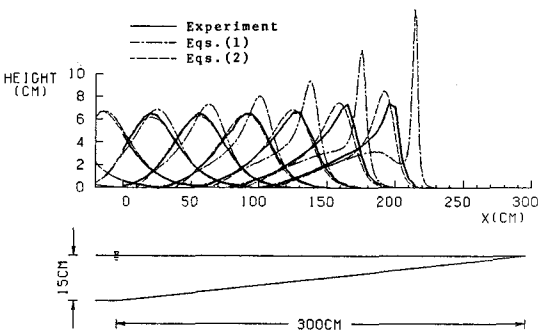
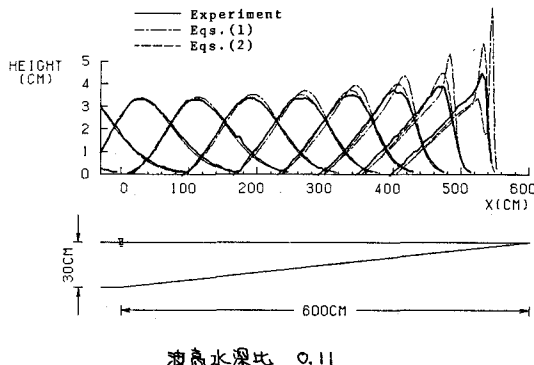


図1 空間波形

前傾化が実験値に比べ顕著であり、波高水深比の増大につれてとの傾向が大きくなる。式(2)では、波高は実験値より大きくなるが前傾化は同程度である。との波高増加式(1)より小さく、実験値に近いものとなつていい。

図2に波形および運動量の式の各項を示す。これは最大値を基準化してある。波高水深比が小さい場合は、局所項と重力項が釣り合い、他の項は小さい。また式(1)と式(2)の分散項の差も小さい。波が斜面を進むと、移流項が大きくなつてくる。また各項も前傾化してくる。波高水深比が大きい場合は、局所項に比べ、移流項、分散項も無視できなくなる。式(1)の分散項は、式(2)の分散項に比べても小さく形も前傾化している。これが式(1)を用いた場合、波高が増幅し波形が前傾化する原因と考えらる。式(2)の分散項では、 $\frac{D^3}{3}F_1$ の項が大きく他の無視できる。さらにもの中では、第1項が大きく第2項が逆位相で修正する形になつていい。第3項は人工で無視できる。

#### 4. 結言

式(2)を用いた場合でも、碎波点の近くでは実験値からはずれてくる。どこでも精度よく計算するためには、工らに高次近似の式を用いることを考えなければならない。

#### 図2 各項の比較

上から、波高水深比0.11の場合の波形

運動量の式の各項

式(2)の分散項

式(1)の分散項

式(2)の分散項の $\frac{D^3}{3}F_1$ の項

波高水深比0.44の場合の波形

運動量の式の各項

式(2)の分散項

式(2)の分散項の $\frac{D^3}{3}F_1$ の項

